

КЛИНИЧЕСКИЕ НАБЛЮДЕНИЯ

Е.А.Покушалов, А.Б.Романов, С.Н.Артеменко,
А.Н.Туров, А.Н.Архипов, А.А.Прокопенко

РЕЗЕКЦИЯ УШКА ЛЕВОГО ПРЕДСЕРДИЯ ПОСЛЕ НЕУДАЧНОЙ КАТЕТЕРНОЙ АБЛАЦИИ ФОКУСНОЙ ПРЕДСЕРДНОЙ ТАХИКАРДИИ

*ФГУ «Новосибирский НИИ патологии кровообращения имени академика Е.Н.Мешалкина
Федерального агентства по здравоохранению и социальному развитию», Новосибирск, Россия*

Описывается лечение медикаментозно-рефрактерной фокусной тахикардии из ушка левого предсердия у 9-летнего мальчика, когда после неудачной эндокардиальной аблации была выполнена резекция ушка.

Ключевые слова: фокусная предсердная тахикардия, ушко левого предсердия, электрофизиологическое исследование, радиочастотная катетерная аблация, миниторакотомия.

The treatment history of medically resistant focal tachycardia originating from the left auricle is described in a 9 year old male patient, when after unsuccessful endocardial ablation, resection of the left auricle was performed.

Key words: *focal atrial tachycardia, left auricle, electrophysiological study, radiofrequency catheter ablation, minithoracotomy.*

Фокусная предсердная тахикардия из ушка левого предсердия (ЛП) встречается редко и обычно возникает в его основании [4, 9]. Известно несколько успешных случаев катетерной аблации тахикардии из ушка ЛП у подростков [5]. Мы представляем историю 9-летнего мальчика, у которого предсердная тахикардия развилась из верхушки ушка ЛП.

Мальчик 9 лет поступил в отделение с жалобами на сердцебиение, утомляемость, одышку и гипотензию в течение последних 6 лет. Тахикардия впервые обнаружена на ЭКГ в возрасте трёх лет. С момента установления диагноза пациент принимал антиаритмические препараты (верапамил, атенолол, амиодарон, пропранол, дигоксин). Несмотря на проводимое лечение, тахикардия сохранялась. С возраста 5 лет снизилась переносимость физических нагрузок, мальчик стал уставать.

Холтеровское суточное мониторирование выявило постоянную в течение суток предсердную тахикардию с разной (1:1-2:1-3:1) атриовентрикулярной проводимостью с ЧСС от 120 до 220 в минуту (средняя - 155 в минуту). Биохимический и общий анализ крови не имел каких-либо особенностей. Эхокардиография показала умеренную предсердную дилатацию, фракция выброса левого желудочка снижена до 45%. На поверхностной электрокардиограмме выявлены отрицательные P-волны в отведениях I, AVL и положительные P-волны в нижних отведениях и отведении V1, что ориентировочно соответствовало левопредсердной локализации [10, 12].

Наличие хронической многолетней предсердной тахикардии, рефрактерной к медикаментозной терапии и приведшей к осложнению (клиника хронической сердечной недостаточности, эхокардиографические признаки систолической и диастолической дисфункции левого желудочка, предсердная дилатация) стали показанием к катетерной аблации.

Электрофизиологическое исследование и радиочастотная катетерная аблация

Электрофизиологическое исследование было выполнено с использованием стандартных катетеров, установленных в коронарном синусе и в области пучка Гиса. Во время тахикардии предсердная активность

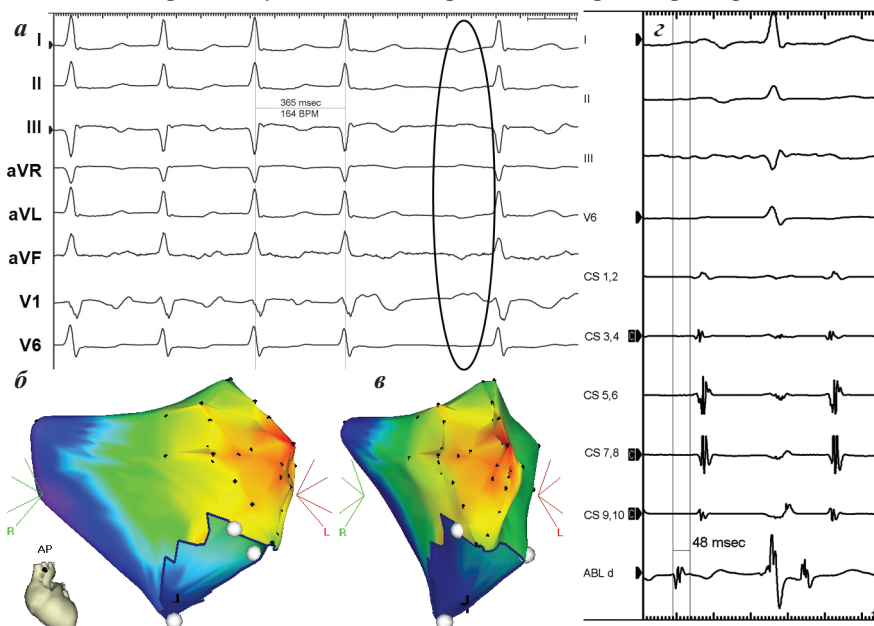


Рис. 1. Данные внутрисердечного ЭФИ: а - поверхностная ЭКГ во время предсердной тахикардии, б-в - электроанатомические карты ЛП в переднезадней (AP) и левой латеральной (LL) проекциях соответственно (красный цвет соответствует аритмогенному фокусу в верхушке ушка ЛП), г -электрограмма с абляционного электрода (Abl) из точки наиболее ранней активации в ушке ЛП (A-P = 48 мс), CS - биполярная электрограмма из коронарного синуса.

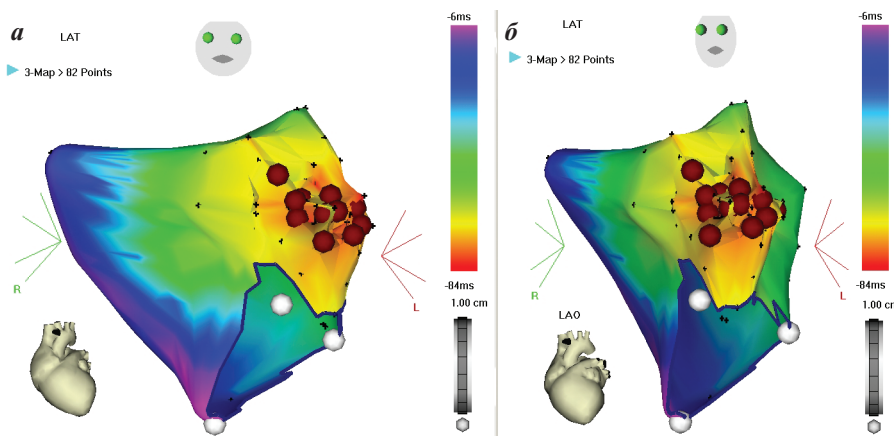


Рис. 2. Электроанатомическое 3D-изображение ЛП после РЧА: а - переднезадняя (AP), б - левая латеральная проекция, бордовые маркеры соответствуют точкам радиочастотной аппликации.

вация на коронарном синусе осуществлялась от дистального полюса к проксимальному, что окончательно подтверждало левопредсердную локализацию. Стандартный абляционный катетер с кончиком 4 мм (Navistar; Biosense Webster, Inc., Diamond Bar, CA, USA) был проведен в левое предсердие через бедренную вену и затем через овальное окно. При помощи навигационной системы CARTO XP (Biosense-Webster) построена активационная карта левого предсердия. Наиболее ранняя эктопическая активность обнаружена в верхушке ушка левого предсердия, где интервал A-P (от локального возбуждения, опережающего P-волны, до ее начала) составил 48 мс (рис. 1).

Множественные попытки радиочастотной абляции (РЧА) с использованием орошающего электрода и температуры от 52 до 55 °C на его кончике при мощности от 17 до 25 Вт приводили лишь к временному прекращению тахикардии с повторным рецидивированием через 15-60 секунд после радиочастотного воздействия. Во время воздействия было трудно добиться адекватных параметров. Всего было выполнено 19 радиочастотных воздействий в течение 21 минуты, которые не имели эффекта (рис. 2 - цветное изображение см. на вклейке). В конце операции при проведении трансторакальной эхокардиографии перикардиального выпота не было выявлено. Однако от последующих воздействий решено отказаться в связи с массивностью воздействия и высоким риском перфорации сердца при дальнейшей абляции.

Кардиохирургическое вмешательство

Учитывая невозможность РЧА в связи с риском тяжелых осложнений, ребёнку выполнено открытое кардиохирургическое вмешательство. Во время операции у пациента постоянно регистрировалась предсердная тахикардия с ЧСС 160-190 в минуту. Под общим наркозом была выполнена левосторонняя миниторакотомия. После вскрытия перикарда выделено ушко левого предсердия, при захвате которого пинцетом произошло купирование тахикардии. Ушко левого предсердия было резецировано (рис. 3 - цветное изображение см. на вклейке). На удаленном фрагменте были видны повреждения от РЧА в базальных и средних отделах по-

верхности эндокарда. Эпикардиальная поверхность верхушки ушка ЛП не была повреждена. Операция прошла без осложнений. На момент завершения операции регистрировался стабильный синусовый ритм, 100 в минуту.

Пациент выписан на 8-ой день после операции. При последующем наблюдении на протяжении 18 месяцев ребёнок жалоб не предъявляет. При суточном мониторировании с периодичностью в три месяца регистрировался стабильный синусовый ритм со среднесуточной ЧСС от 77 до 85 в минуту,

анатомические параметры левого желудочка и предсердных камер вернулись к нормальным значениям.

ОБСУЖДЕНИЕ

В данном клиническом случае источником предсердной тахикардии явилось ушко ЛП. Попытка эндокардиальной РЧА у этого пациента оказалась безуспешной ввиду сложной рельефной анатомии эндокардиальной поверхности верхушки ушка ЛП (рис. 3), что создавало препятствия стабильному положению катетера. Открытое оперативное вмешательство - резекция ушка ЛП привело к восстановлению синусового ритма.

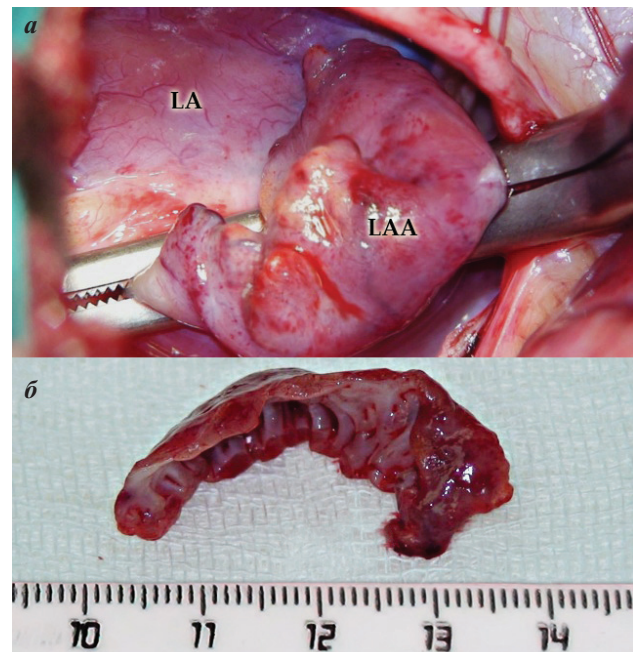


Рис. 3. Внешний вид ушка левого предсердия:
а - интраоперационно (отжатого пинцетом, где LAA - левопредсердное ушко, LA - стенка левого предсердия), б - резецированного ушка (его эндокардиальная поверхность имеет мешотчатую форму, виден мышечный рельеф, на эндоардиальной поверхности базальных и средних отделов имеются следы воздействия абляционного катетера, эпикардиальная поверхность не повреждена).

Механизм возникновения предсердной тахикардии из ушка ЛП остается неизвестным. Ушко ЛП являетсяrudиментом первичного эмбрионального ЛП, которое формируется в течение 3-й недели беременности, и расположено между левой верхней легочной веной и левым желудочком. Рудиментарные ткани могут быть источником аритмии.

Несколько предыдущих публикаций [5, 6, 11-13] показали, что верхушка ушка ЛП может быть источником предсердной тахикардии. Внутриклеточные записи продемонстрировали, что механизм тахикардии с периодом 360-540 мс был обусловлен аномальным автоматизмом. Гистологическое исследование показывает, что источником спонтанной активации являются аномальные клетки аморфной структуры с бледной эозинофильной окраской цитоплазмы и отсутствием ядра, которые окружены нормальными кардиомиоцитами [1].

Сложная анатомия ушка ЛП обуславливает трудности манипуляции катетером в данной зоне [2, 3]. Толстые тяжи внутрипредсердных мышц и тонкая стенка ушка ЛП усложняют процедуру катетерной абляции и повышают риск перфорации [5]. Радиочастотное воздействие в области сложного мышечного рельефа в отличие от воздействия на область гладкого эндокарда не

столь эффективно, так как отсутствует полный контакт абляционного электрода с поверхностью, что приводит к разогреву крови в этой зоне [7]. В данном клиническом случае многократные попытки катетерной абляции приводили лишь к преходящему эффекту.

Ушко ЛП может быть расправлено в результате давления на него абляционным катетером [2]. Однако этот маневр может привести к перфорации стенки ЛП [8], поэтому данный прием в нашем клиническом примере мы не использовали. В мировой литературе известно лишь несколько случаев катетерной абляции предсердной тахикардии из ушка ЛП у детей [5]. Существуют различные методики воздействия в подобной ситуации, такие как торакоскопия, криоабляция и эпикардиальная абляция [5- 6, 11, 13]. Мы выбрали хирургический способ лечения после неудачной катетерной абляции, так как риск развития осложнений и вероятность неудачи при проведении повторной процедуры катетерной абляции был выше, чем при проведении открытого оперативного вмешательства. Таким образом, хирургическое лечение молодых пациентов с предсердной тахикардией из ушка ЛП может быть рекомендовано как безопасное и эффективное вмешательство при неэффективной эндокардиальной катетерной абляции.

ЛИТЕРАТУРА

1. de Bakker J.M., Hauer R.N., Bakker P.F. et al. Abnormal automaticity as mechanism of atrial tachycardia in the human heart - electrophysiologic and histologic correlation: a case report // J. Cardiovasc. Electrophysiol. - 1994. - V.5. - P.335-344.
2. Hillock R.J., Singarayar S., Kalman J.M., Sparks P.B. Tale of two tails: the tip of the atrial appendages is an unusual site for focal atrial tachycardia // Heart Rhythm. - 2006. - V.3. - P.467-469.
3. Ho S.Y., Sanchez-Quintana D., Cabrera J.A., Anderson R.H. Anatomy of the left atrium: implications for radiofrequency ablation of atrial fibrillation // J. Cardiovasc. Electrophysiol. - 1999. - V.10. - P.1525-1533.
4. Lesh M.D., VanHare G.F., Epstein L.M. et al. Radiofrequency catheter ablation of atrial arrhythmias: results and mechanisms // Circulation. - 1994. - V.89. - P.1074-1089.
5. Phillips K.P., Natale A., Sterba R. et al.. Percutaneous pericardial instrumentation for catheter ablation of focal atrial tachycardias arising from left atrial appendage // J. Cardiovasc. Electrophysiol. - 2008. - V.19. - P.430-433.
6. Raczka F., Granier M., Mathevot L., Davy J. Radiofrequency ablation of a left appendage focal tachycardia using intracardiac ultrasound image integration to guide catheter: minimizing the risk of left appendage perforation // Europace. - 2009. - V.11. - P.1253-1254.
7. Schwartzman D., Michele J.J., Trankiem C.T., Ren J.F. Electrogram-guided radiofrequency catheter ablation of atrial tissue comparison with thermometry-guide ablation: comparison with thermometry-guide ablation // J. Interv. Card. Electrophysiol. - 2001. - V.5. - P.253-266.
8. Sievert H., Lesh M.D., Trepels T. et al. Percutaneous left atrial appendage transcatheter occlusion to prevent stroke in highrisk patients with atrial fibrillation: early clinical experience // Circulation. - 2002. - V.105. - P.1887-1889.
9. Tang C.W., Scheinman M.M., Van Hare G.F. et al. Use of P-wave configuration during atrial tachycardia to predict site of origin // J. Am. Coll. Cardiol. - 1995. - V.26. - P.1315-1324.
10. Wang Y.L., Li X.B., Quan X. et al. Focal atrial tachycardia originating from the left atrial appendage: electrocardiographic and electrophysiologic characterization and long-term outcomes of radiofrequency ablation // J. Cardiovasc. Electrophysiol. - 2007. - V.18. - P.459-464.
11. Yamada Y., Ajiro Y., Shoda M. et al. Video-assisted thoracoscopy to treat atrial tachycardia arising from left atrial appendage // J. Cardiovasc. Electrophysiol. - 2006. - V.17. - P.895-898.
12. Yamada T., Murakami Y., Yoshida Y. et al. Electrophysiologic and electrocardiographic characteristics and radiofrequency catheter ablation of focal atrial tachycardia originating from the left atrial appendage // Heart Rhythm. - 2007. - V.4. - P.1284-1291.
13. Yamada T., Mc Elderry T., Allison S., Kay N. Focal atrial tachycardia originating from the epicardial left atrial appendage // Heart Rhythm. - 2008. - V.5. - P.766-767.